



# A GaAs Pixel detector based digital mammographic system: performances and imaging test results

A. Stefanini Physics Dept and INFN Pisa



# A technological know how transfer project

Researchers have spent many man-years in the attempt to adapt detector and read-out technologies, originally developed in the field of High Energy Physics, to the domain of biomedical apparatuses.

These studies have been integrated in a 3 years project, funded by the Italian Government through the law 46/82 (art.10): the Integrated Mammographic Imaging (IMI) project that started in June 2000.

- Research lines:
  - An advanced gamma camera for scintimammography
  - GaAs detectors and bump bonding techniques
  - A prototype of a mammographic head and related developments
  - A high intensity tunable quasi-monochromatic X-ray source

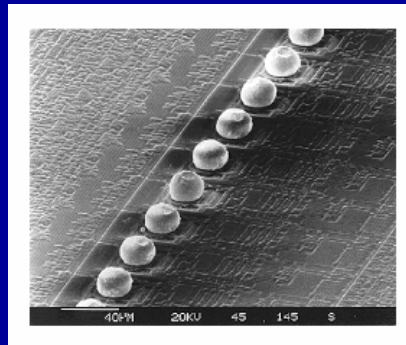
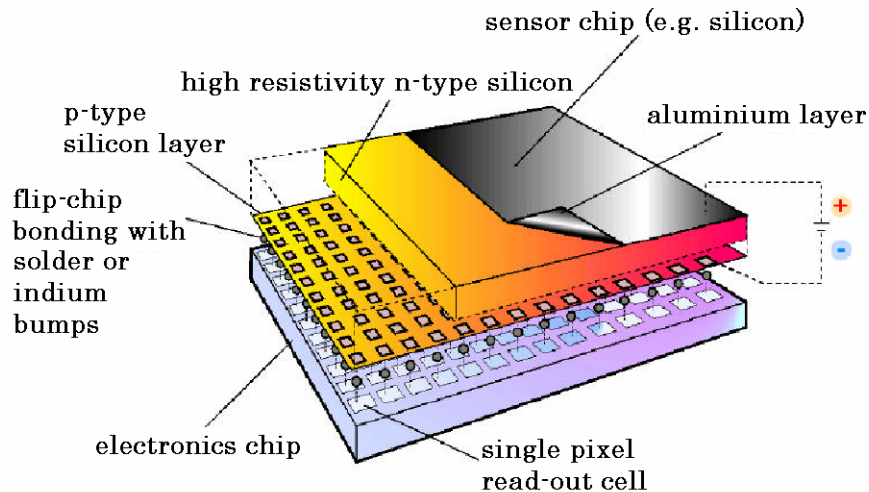


# Hybrid pixel detectors for single photon counting

## CMOS technology



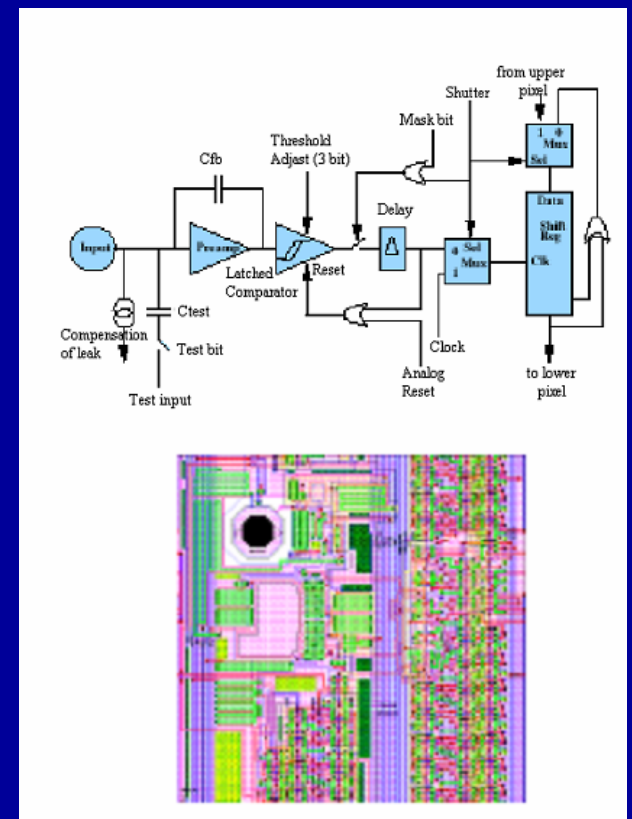
### Hybrid Pixel Detector



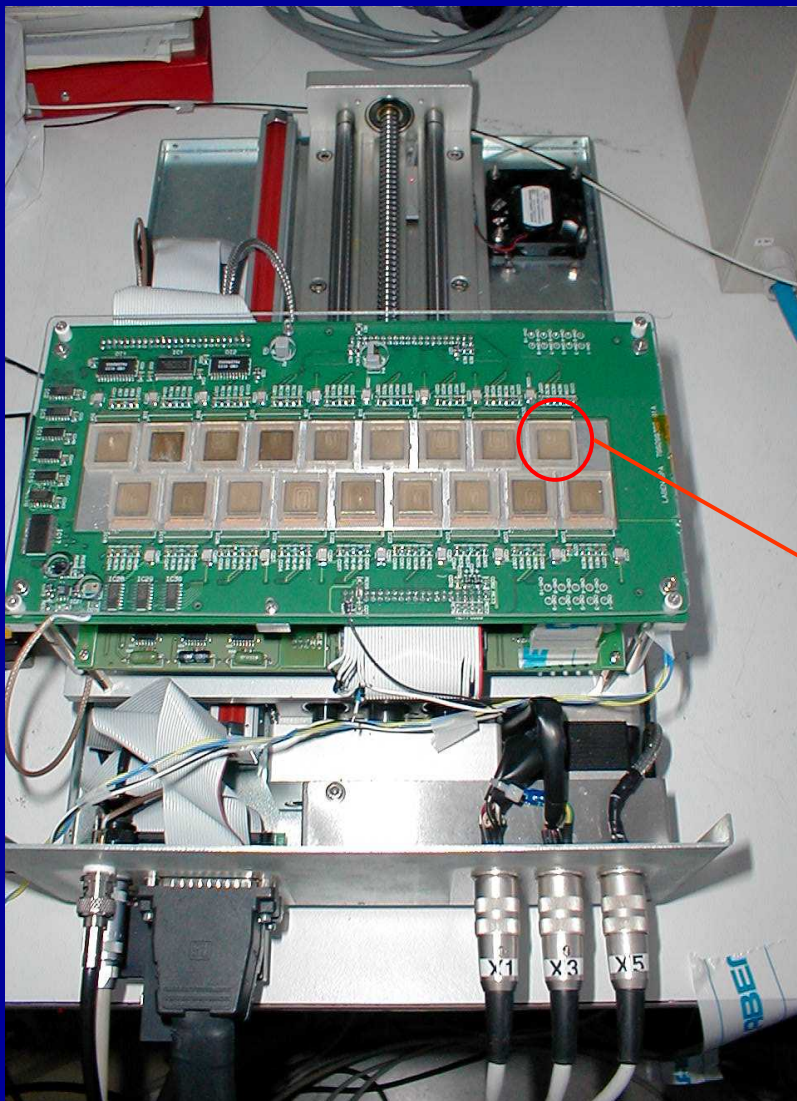
Bump-bonding: an industrial technology still posing yield problems

**Medipix1** (170 µm pitch) 1 µm SACMOS  
(M. Campbell et al., 1998)

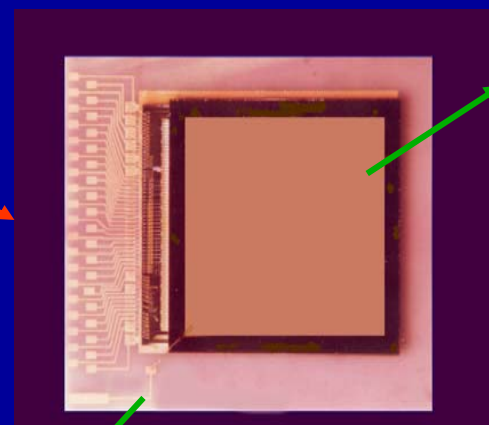
400 transistors/cell  
1.6 M transistors/chip



# The Detection head

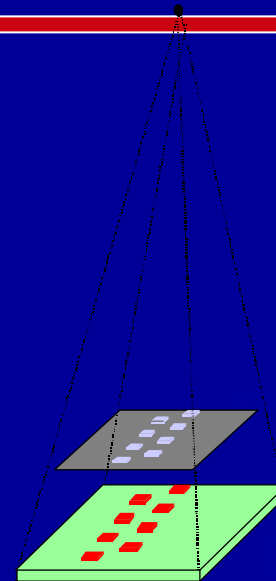
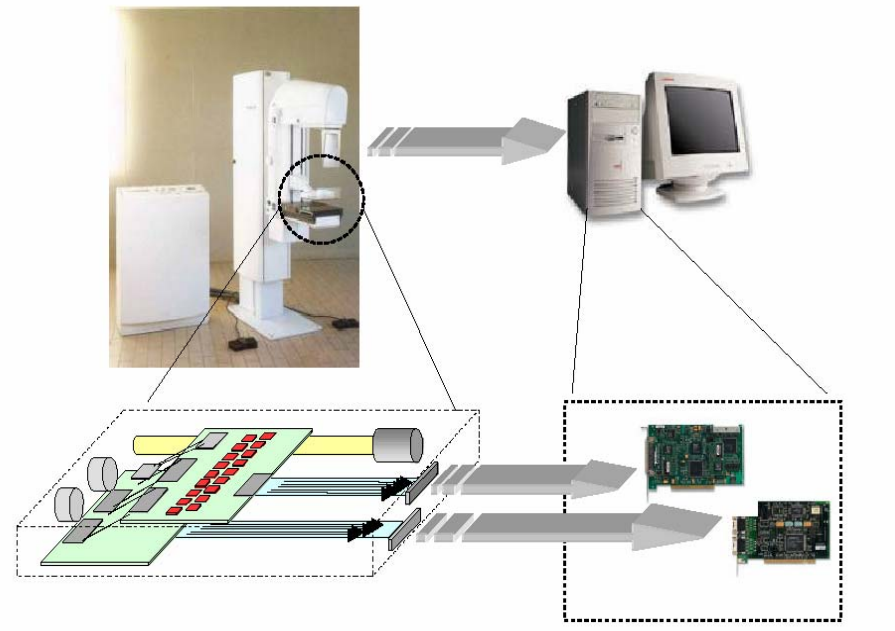


- The Detection Unit
  - The assemblies have been produced and bump bonded by Alenia Marconi Systems (Roma)
  - Each detection unit has been mounted in a protective case.



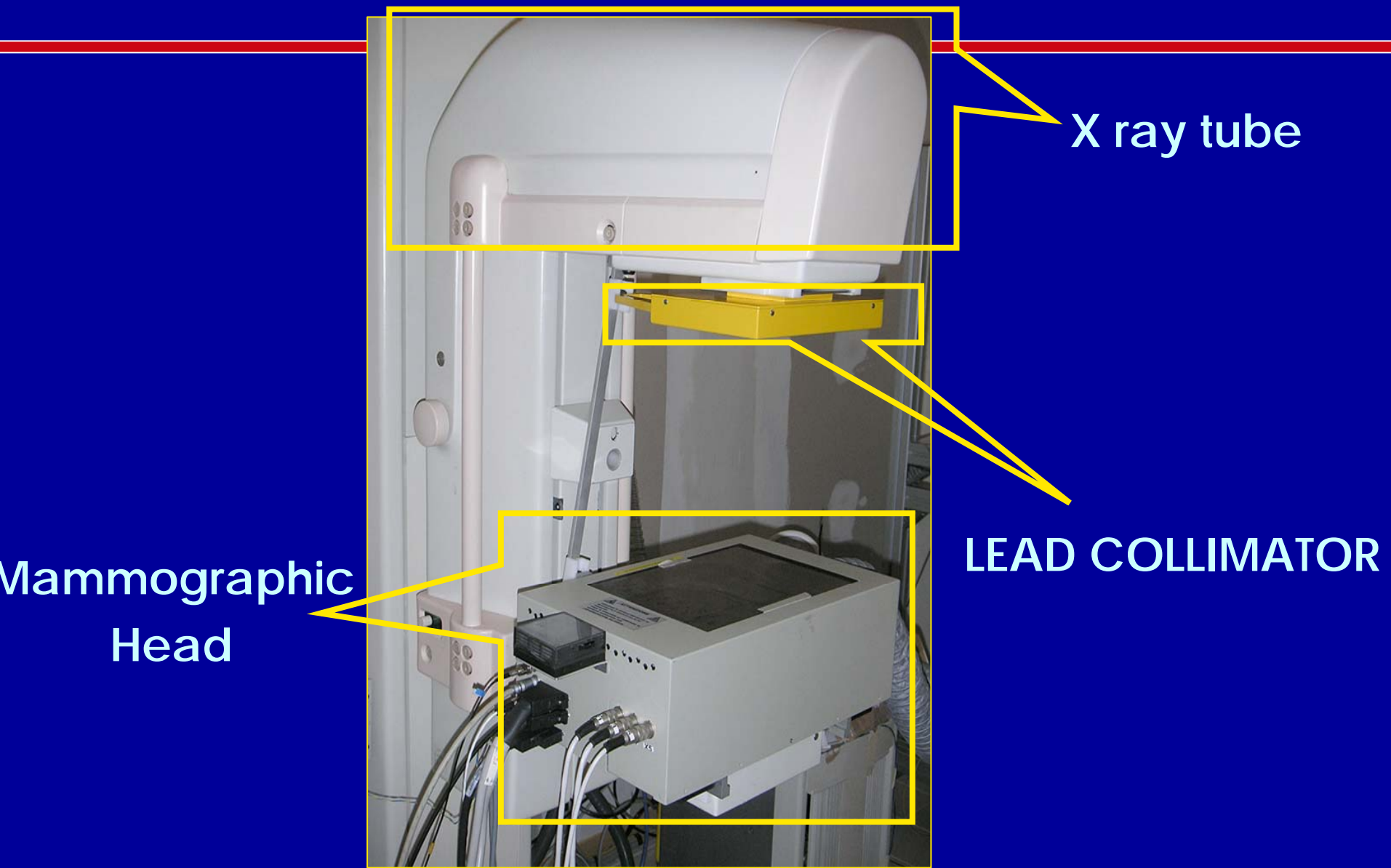
Aluminum nitride (AlN) substrate,  
LEXAN cover on top (not shown)

# The IMI demonstrator



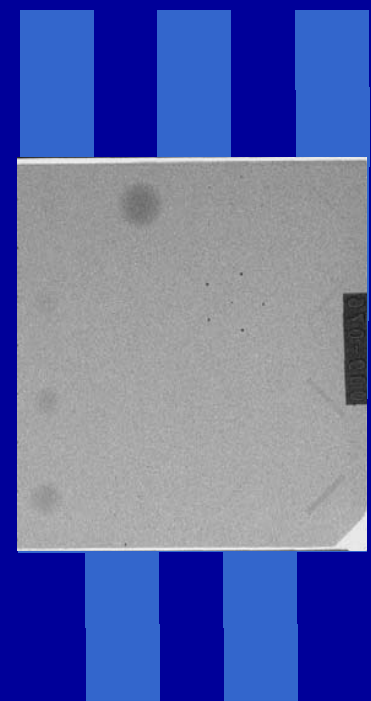
- Mosaic geometry with staggered rows of nine assemblies each one,
- Scanning across the exposure field by means of a stepper motor.
- The read-out system MMRS (Multichip Medipix Readout System) (LABEN)
  - custom designed chipboard
  - interface board (IB), connected to the chipboard, implements all the logic functions of the MMRS
  - PCI board commercial board (NI 6533) that interfaces the IB to the PC.
- The BIAS Board (CAEN) provides the analog and digital biases of the chips.
- The X ray tube (Gilardoni) is the clinical mammographer SYLVIA adapted to host the collimator and the detection head.
- A controller PC handles the whole image acquisition process by means of a software program written in LabWindows CVI.

# The IMI Demonstrator



# Scanning simulation

- 18 x 24 cm<sup>2</sup> exposure field
  - 1D scanning
  - 9 x 2 assemblies
  - 26 exposures
- “off-line” image reconstruction

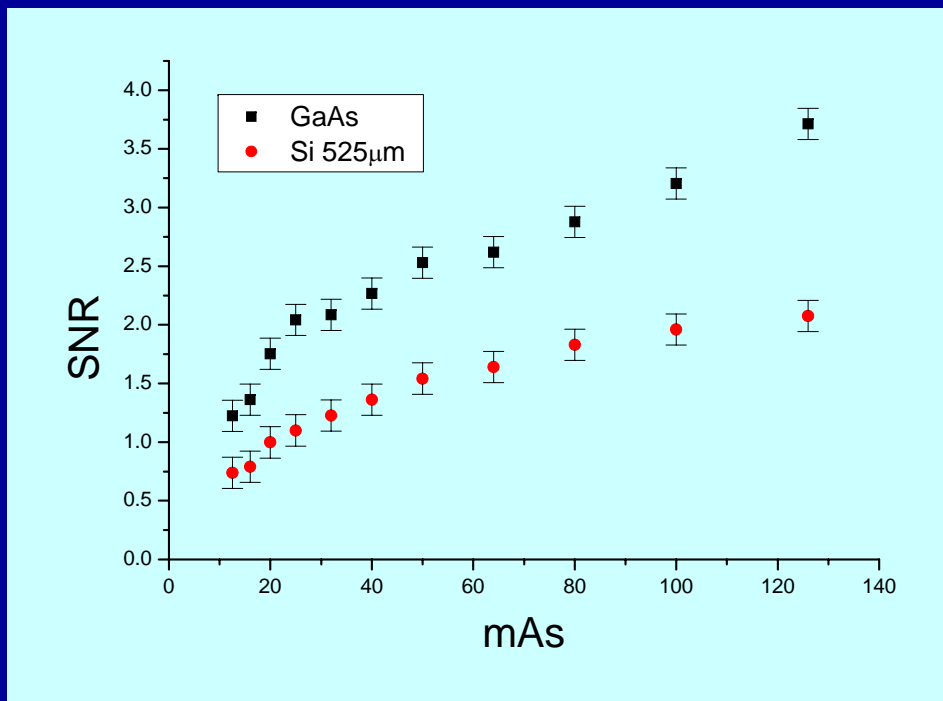


# GaAs Detectors

- Advantages:
  - High atomic number, high density, high detection efficiency
- Problems:
  - Material (SI LEC)
    - deep levels (traps)
    - active thickness, charge collection efficiency
  - Contacts
    - High voltage
- Goals:
  - High bias voltage ( $> 350$  V)
  - Low leakage current (lower than  $5 \mu\text{A}/\text{cm}^2$ )
  - High charge collection efficiency ( $> 75\%$  at the operating bias 350V)
  - Reliability

# Comparison between GaAs and Si

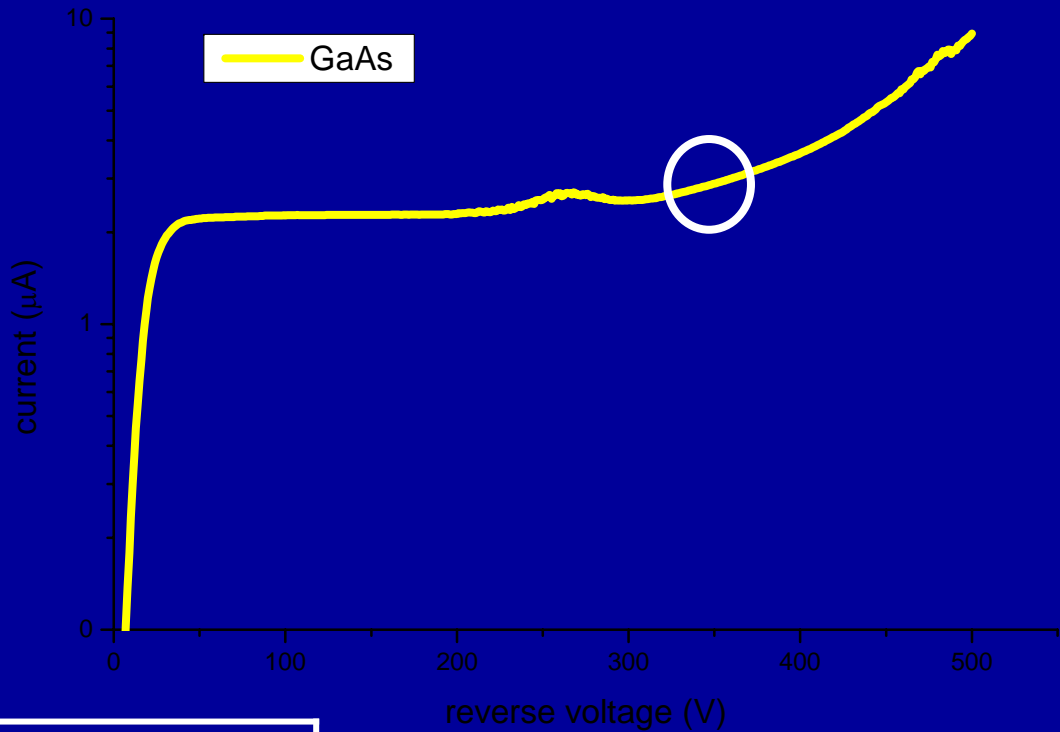
- Evaluation of the SNR as a function of the incident flux for the 2 mm tumor mass of the RMI phantom
  - Detectors: 200  $\mu\text{m}$  GaAs and 525  $\mu\text{m}$  Si
  - Tube settings: 40 kV and 16  $\rightarrow$  125 mAs



- The performance of the GaAs detector in terms of the SNR is higher than the 525 mm thick Si one
- In agreement with the different detection efficiency of Si and GaAs at these energies.

# Electrical characterization

The voltage has been applied on the back side up to the maximum value of 500 V.  
(Tested for several days at room temperature)

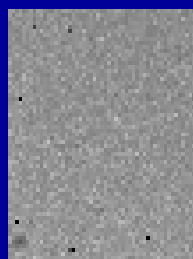


350V	<b>Operating bias voltage</b>
2.4 $\mu$ A/cm <sup>2</sup>	<b>Current density</b>

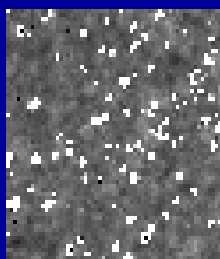
Current density is in agreement with the requirement (lower than 5  $\mu$ A/cm<sup>2</sup>)

# Working point optimization

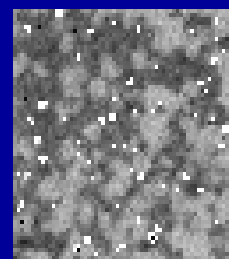
Irradiation with a  $^{109}\text{Cd}$  source



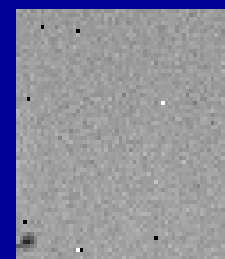
**100 V**



**250 V**



**300 V**



**350 V**

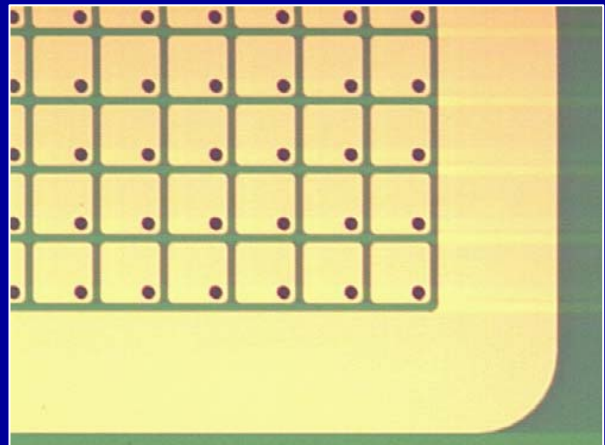
100 V: uniform image but low detection efficiency

250 V and 300 V: inhomogeneity and degradation in the image quality

350 V: uniform image with high statistics and high efficiency

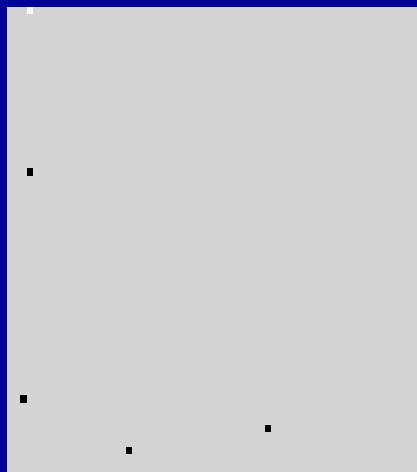
# The Indium Bump Bonding

- Goal
  - High quality electrical contact between GaAs detector and Si electronics
  - High bonding yield
- The AMS (Alenia Marconi Systems) process
  - Under Bump Metal (UBM): evaporation of a Ti/Al multilayer.
  - Bumps: Indium evaporation on the electronics and the detector pads
  - Bumps: cylindrical 30 $\mu\text{m}$  in diameter, 9 $\mu\text{m}$  high

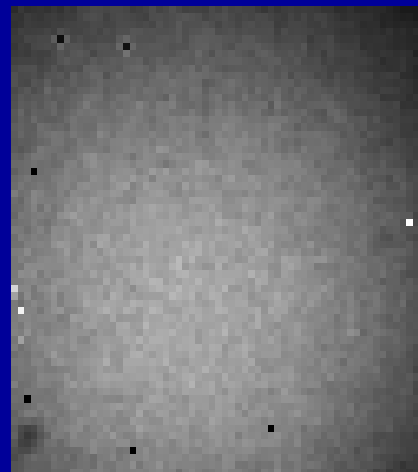


# The bump-bonding tests

Electrical test



Irradiation test



- For the electronics tests, black pixels are damaged
- For the tests with the Ru106 source, search for additional not working pixels (damaged or unconnected after the bump bonding)

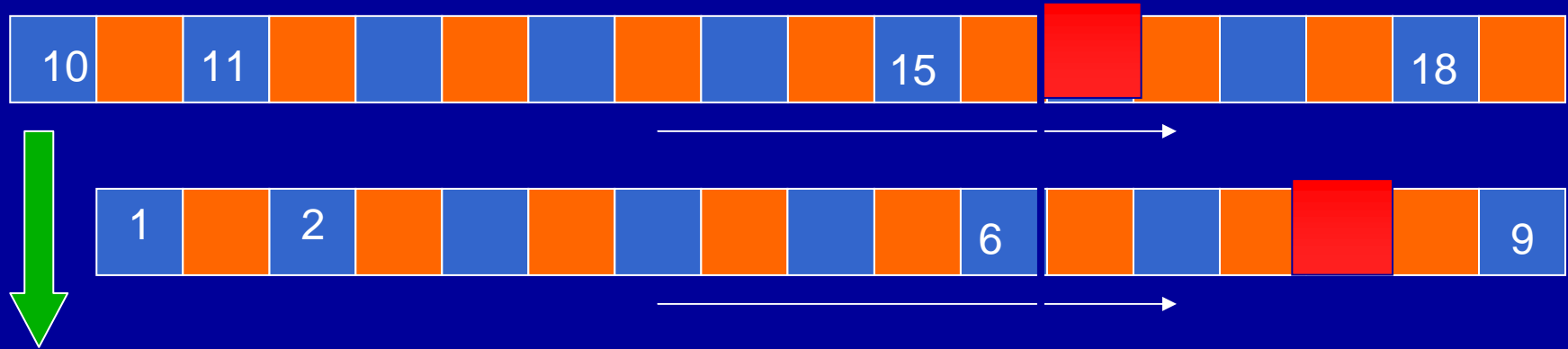
# The assemblies selection

- More than 40 GaAs assemblies have been produced and tested
- The best 18 GaAs assemblies have been integrated in the mammographic head.
- The number of bad pixels is between 30 and 180 for an overall yield between 95% - 99%.

assembl y	1	2	3	4	5	6	7	8	9	10	11	12	13	14	15	16	17	18
Nr. bad pixels	30	30	40	50	50	50	60	65	70	70	10 0	11 0	13 0	13 0	15 0	16 0	16 0	18 0
Overall yield	99. 3	99. 3	99. 0	98. 8	98. 8	98. 8	98. 5	98. 4	98. 3	98. 3	97. 6	97. 3	96. 8	96. 8	96. 3	96. 1	96. 1	95. 6

# GaAs Detectors Test

- The 18 assemblies mounted onto the chipboard have been biased at 350 V and the inverse current drawn by each one have been measured
- 16 chips over 18 draw a current less than  $5 \mu\text{A}$ , which is the limit fixed to prevent the detector breakdown



- we can use only a region 12 cm wide of contiguous good chips. The chips 8 and 16 are unusable due to the high leakage current.
- usable assemblies: from No. 1 to No. 6 (bottom row) and from No. 10 to No. 15 (top row)

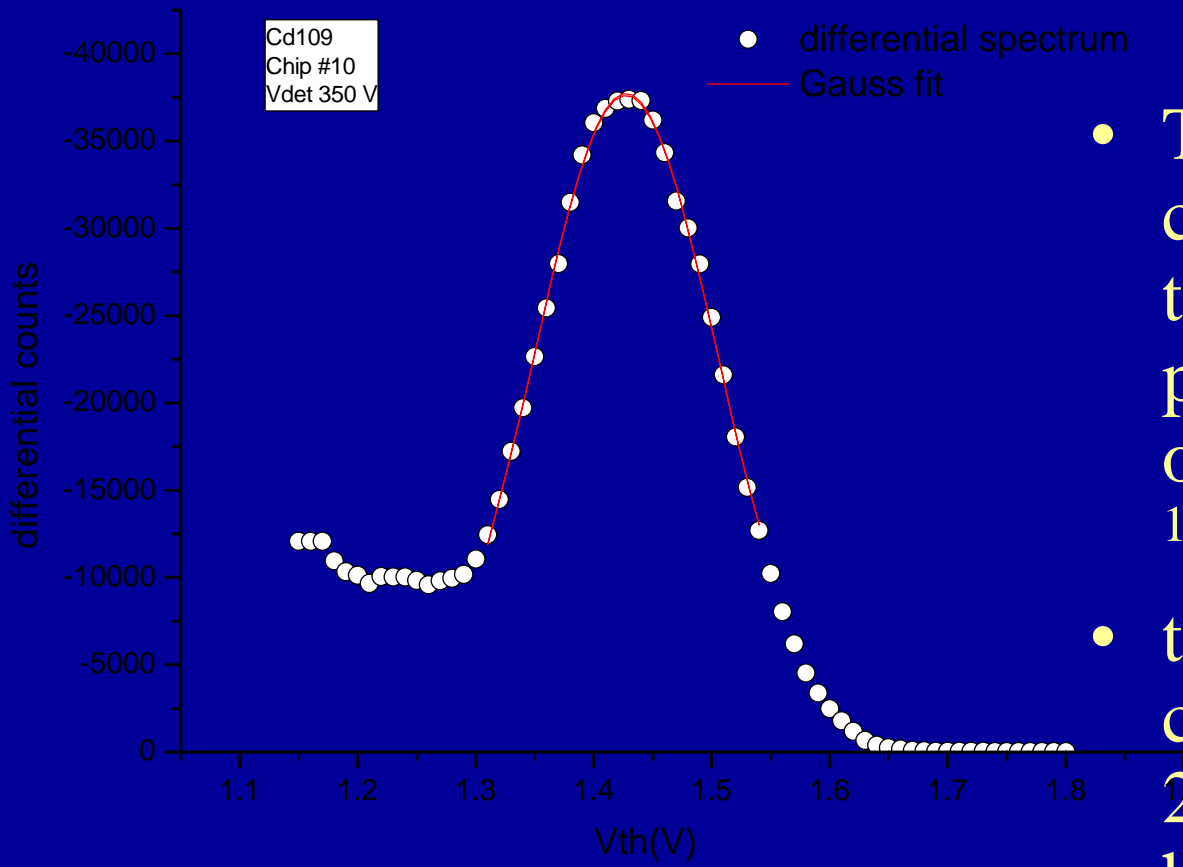
# Set-up optimization

- MedipixI/PCC's electrical characterization
  - Working point optimization
  - Threshold adjustment of the single chips
  - Absolute and electrical calibration of the 12 “good” assemblies thresholds
  - Threshold equalization among the 12 assemblies
- Beam tests with the mammographic tube
  - Thresholds-counts correlation
  - Radiographs of a mammographic phantom with low contrast details

# Electrical Calibration

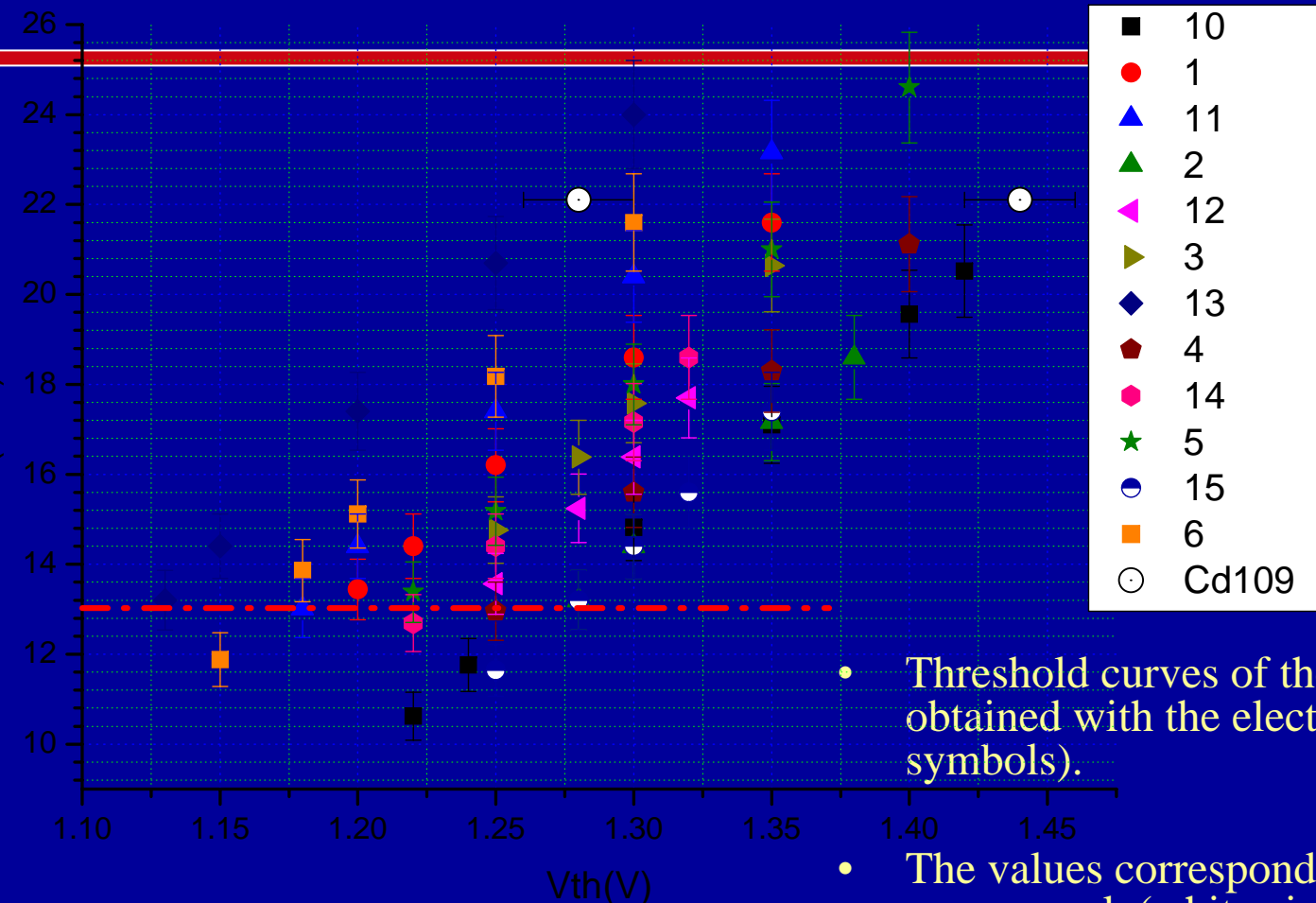
- The equivalent threshold of each chip (average amplitude in mV) has been determined by electrical pulses sent through the test input of the MPXI/PCCs as a function of the threshold value  $V_{th}$
- This procedure has been repeated for different threshold values  $V_{th}$  and for all the 12 good assemblies

# Absolute calibration



- The absolute calibration of the thresholds in terms of photon energy has been obtained by using a  $^{109}\text{Cd}$  gamma source
- the threshold corresponding to the 22 keV emission peak has been determined by acquiring a discrete differential spectrum.

# Calibration Curves



- Threshold curves of the 12 assemblies obtained with the electrical pulses (colored symbols).
- The values corresponding to the  $^{109}\text{Cd}$  22 keV energy peak (white circles) for two different chips (assemblies 10 and 13) are altogether reported.
- The horizontal dot-dashed line represents the average settable minimum threshold.

# Threshold equalization among the 12 chips

- For every chip, we can fix a minimum threshold below which the chip becomes noisy. The minimum threshold value depends on the number of noisy pixels that can be accepted.
- In our case, the assembly reaches the minimum threshold when in a dark acquisition (no X ray exposure) of 1 second the maximum number of noisy pixels is 10.
- Upon this criterion, the minimum threshold of the 12 chips ranges from 11 keV (chip 10) to 16 keV (chip 3).
- If we exclude the chip with the highest threshold (chip 3), the average threshold that can be set for all the chips is about 13 keV

# Mammographic Phantom

Lucite cylinder

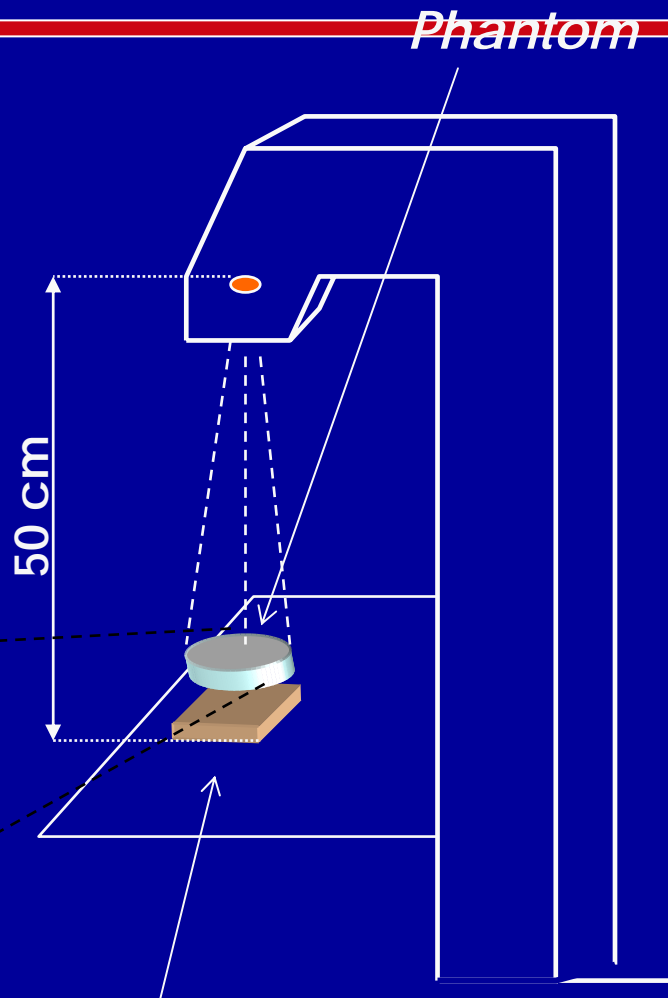
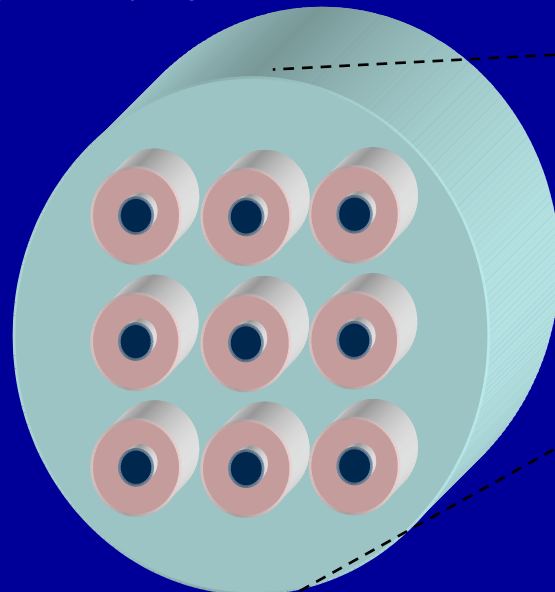
thickness 4 cm

diameter 10 cm

Al disks diameter 4 mm

Thickness ranging from 125 to 15 micron

Embedded in wax cylinders diameter 12 mm, 3 mm thick

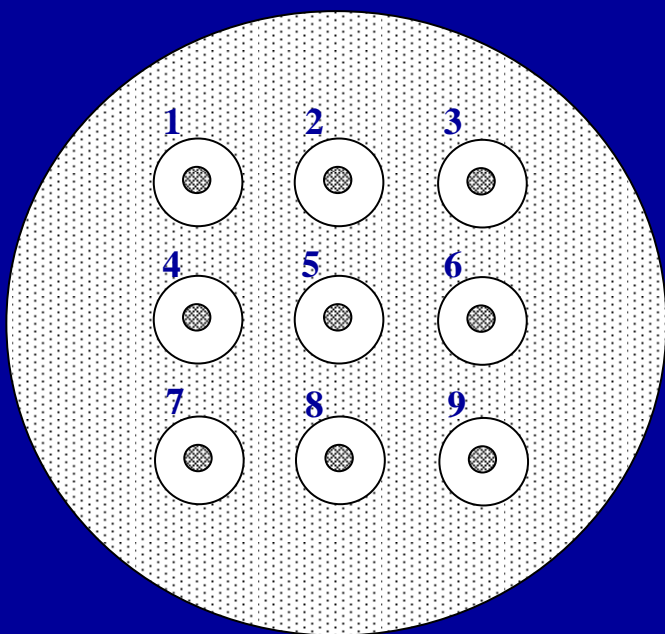


*Detector*

# Phantom Radiograph

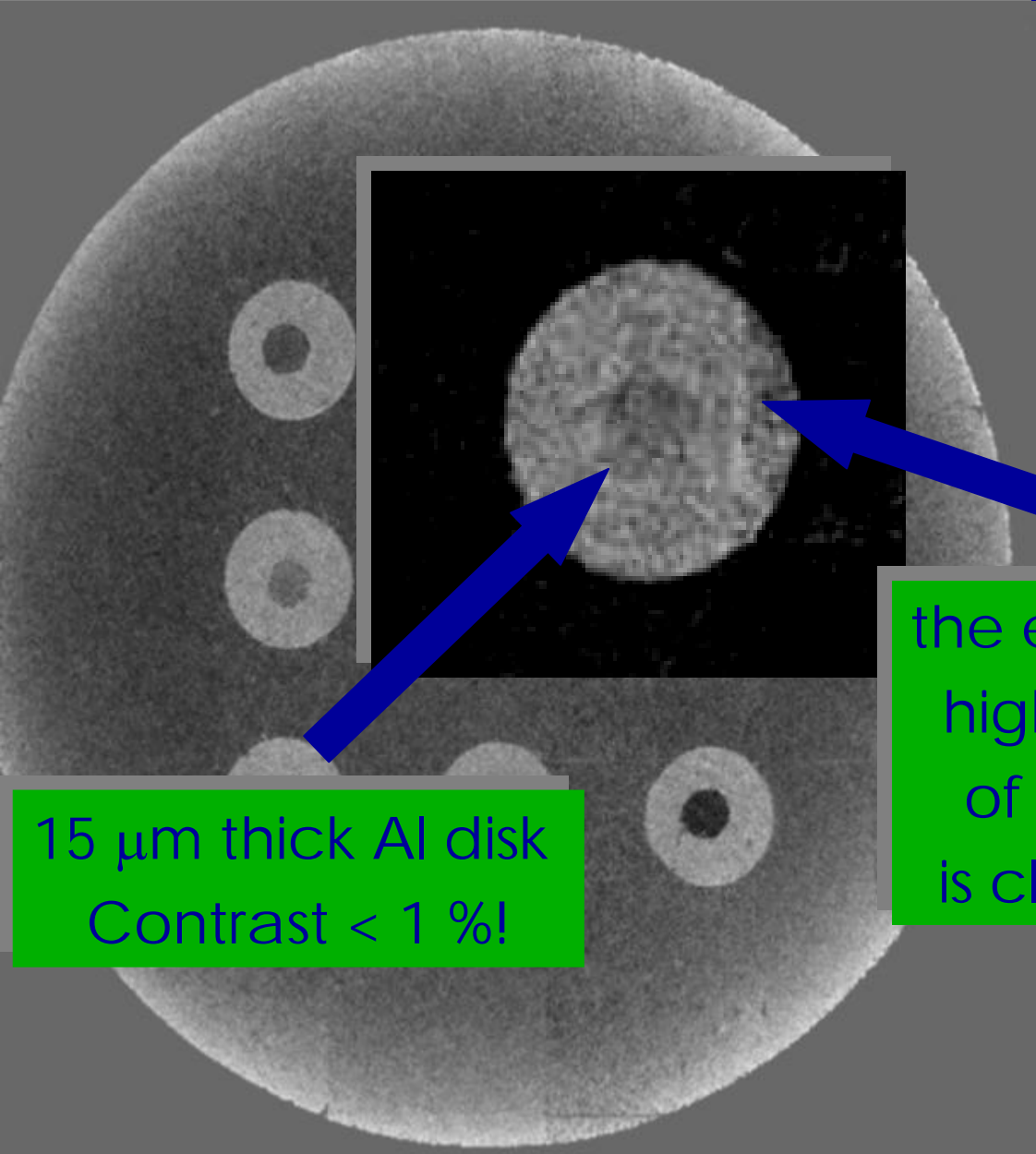
- The phantom was exposed to the X ray beam and the image acquired by scanning the detector across the phantom surface with a sequence of 13 exposure-motion steps.
- Mammographic Tube Settings:
  - 27 kV, 30 mAs, focus 300  $\mu\text{m}$ , exposure field 24 x 30  $\text{cm}^2$
- Acquisition times
  - Shutter time: 0.5 s
  - Delay time: 20 s
  - Limited by heat dissipation rate from the mammographic tube
- The dose per exposure (measured with a silicon dosimeter) delivered to the phantom is 4.8 mGy.
- The image of the phantom has been obtained by weighting the raw image with a high statistics flat field and corrected for the noisy pixels.

# The Phantom



Part #	Thickness ( $\mu\text{m}$ )	Contrast	SNR
1	75	0.040	3.85
2	15	0.009	1.03
3	50	0.028	2.74
4	50	0.027	2.57
5	40	0.022	2.19
6	100	0.054	4.48
7	25	0.015	1.63
8	100	0.048	4.86
9	125	0.070	5.77

# Phantom Radiograph



# Bar Patterns

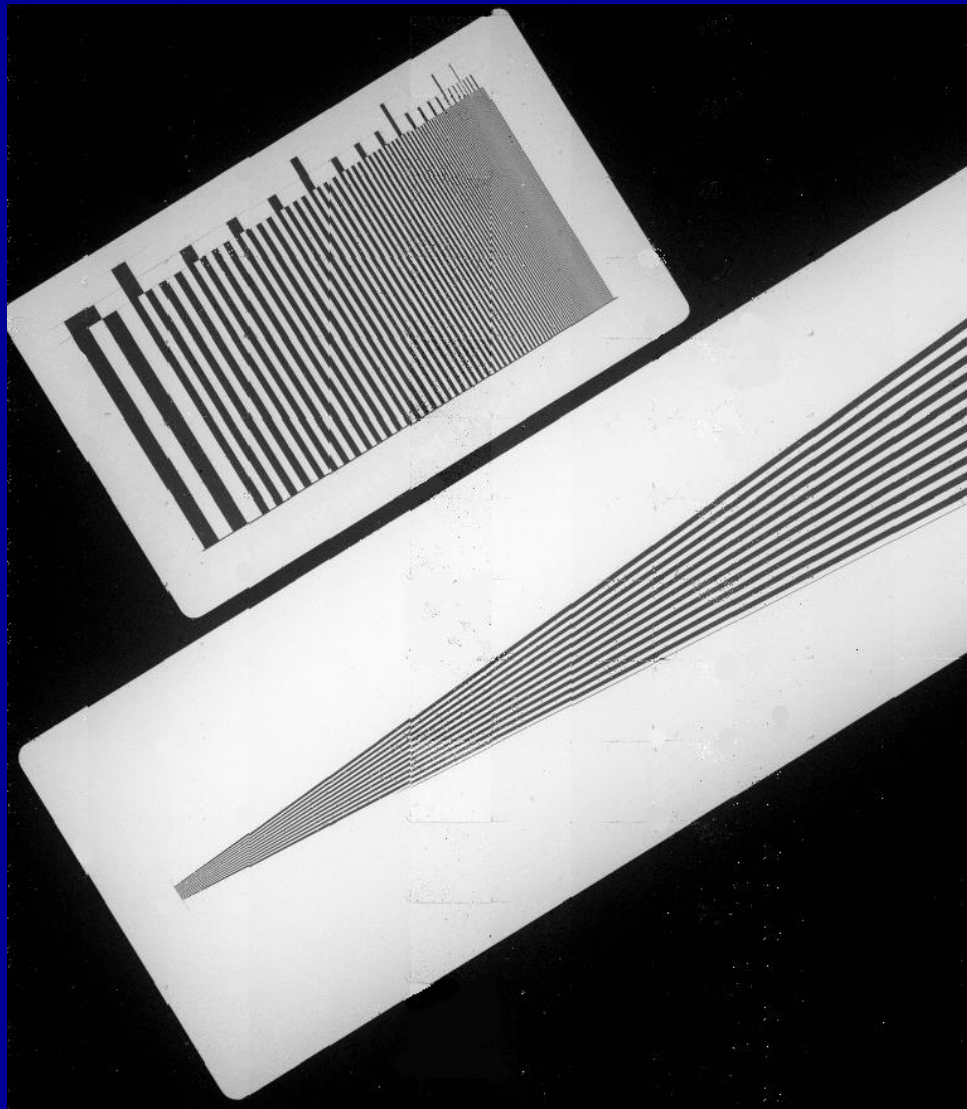
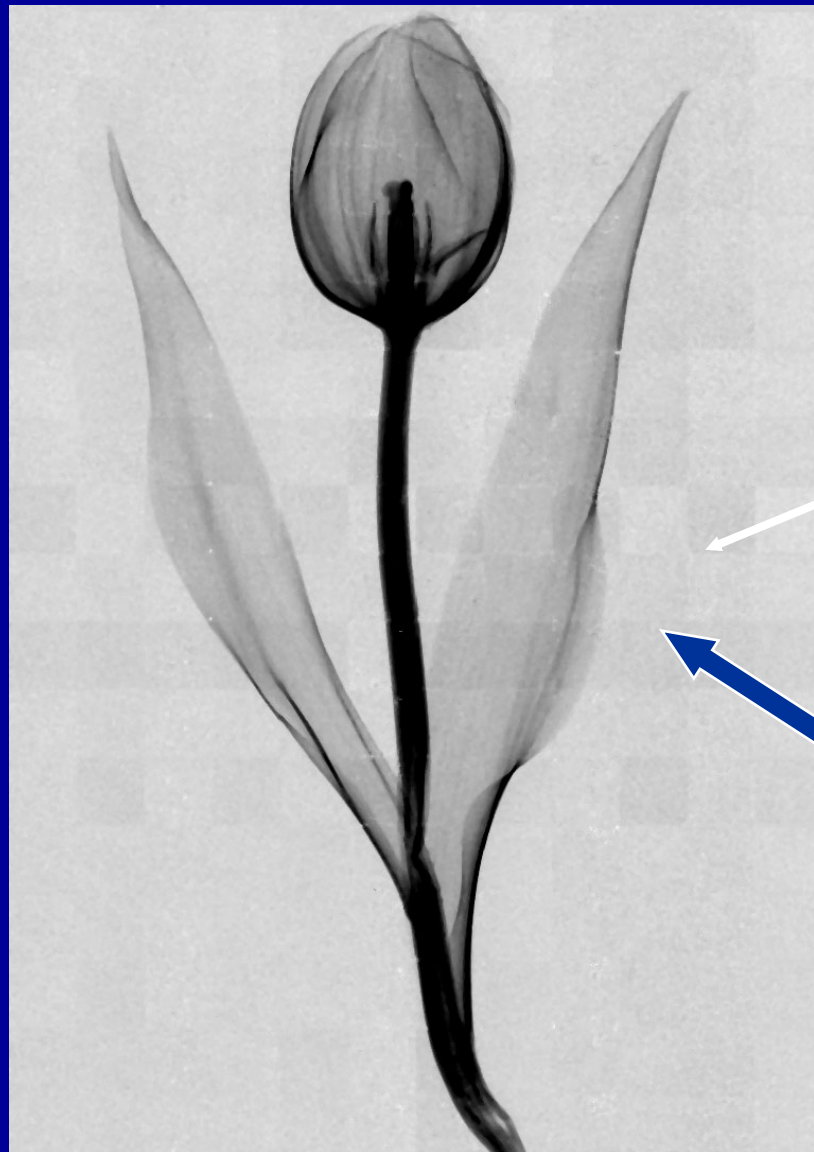


Image of two bar patterns (from 0.5 to 10 lp/mm) acquired to verify the alignments of the chips and the accuracy of the stepper motor

# A very low contrast image



The observable slight discontinuity in the image is due to the time stability of the X-ray tube output and of the detector thresholds, both of the order of 0.5%



# Conclusions

- The demonstrator has been fully tested and optimized to acquire radiographs of a mammographic phantom in exposure conditions typical of a clinical examination.
- The system is able to produce good quality radiographic images with a standard dose.
- Its performance is particularly high in the detection of low contrast details.
  - With this system, we were able to detect a 15  $\mu\text{m}$  thick Al disk against a wax background. The contrast measured on the image is < 1 %.

# Acknowledgments

---

This project has been supported by the

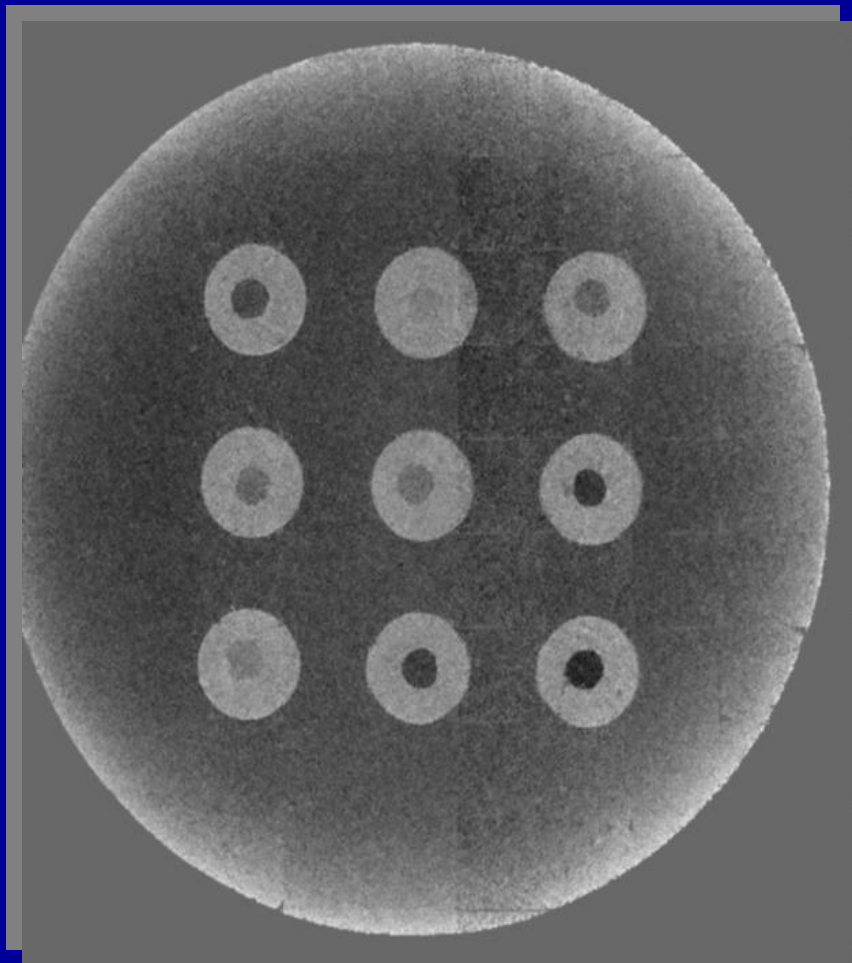
under the Law

46/art. 10-1996

and by the Italian High Tech companies

in collaboration with

# Image of a very low contrast object



- The dose per exposure (measured with a silicon dosimeter) delivered to the phantom is 4.8 mGy.
- The image of the phantom has been obtained by weighting the raw image with a high statistics flat field and corrected for the noisy pixels.

Università di Pisa  
**Facoltà di Scienze Matematiche Fisiche e Naturali**  
**Corso di Laurea in Fisica**  
Anno Accademico 2005/2006

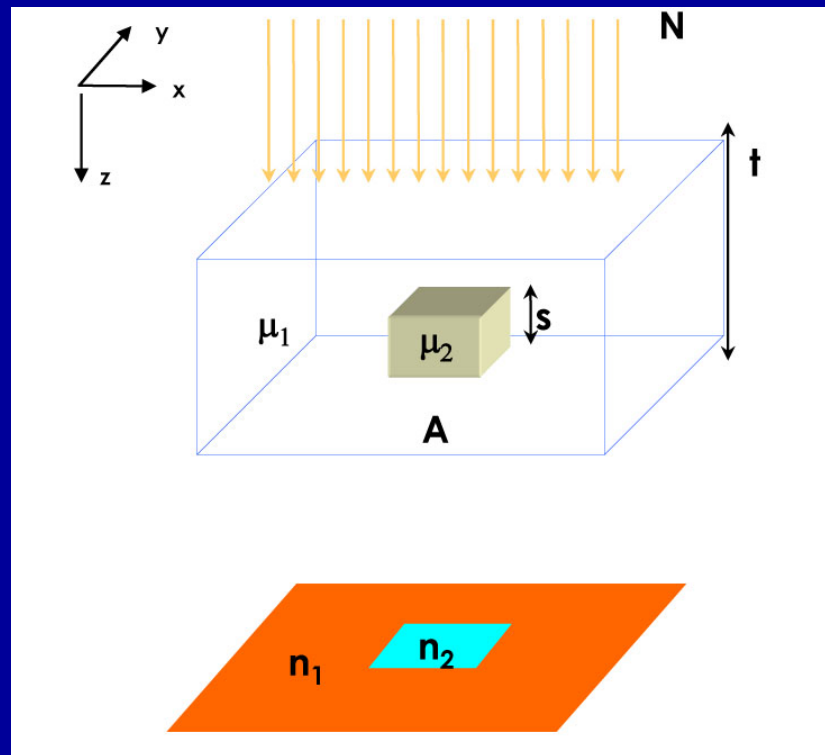
Elaborato Finale

# Caratterizzazione di un sistema per mammografia digitale, basato su chip a conteggio di singolo fotone e rivelatori a GaAs

Candidato  
Giovanni Paternoster

Relatore  
Dott. M. G. Bisogni

# L'indagine mammografica



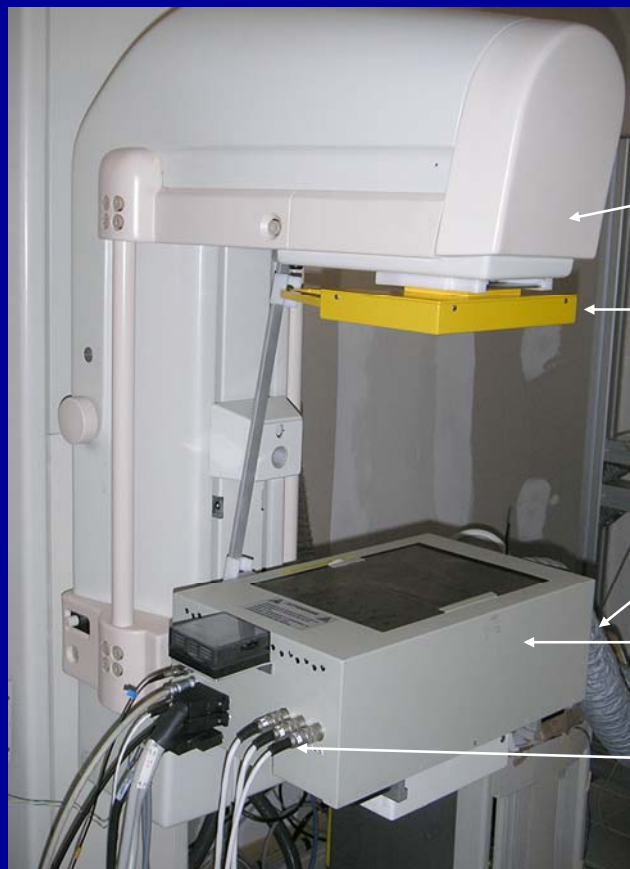
Energie tipiche dell'indagine mammografica: 10 – 30 keV

Contrasto (C) e Rapporto Segnale Rumore (snr), sono i 2 principali parametri qualitativi di un'immagine mammografica

$$C = \frac{n_1 - n_2}{n_1} = 1 - e^{-(\Delta\mu)s}$$

$$snr = \frac{n_1 - n_2}{\sqrt{\sigma_1^2 + \sigma_2^2}}$$

# Il Dimostratore



Tubo mammografico

Collimatore

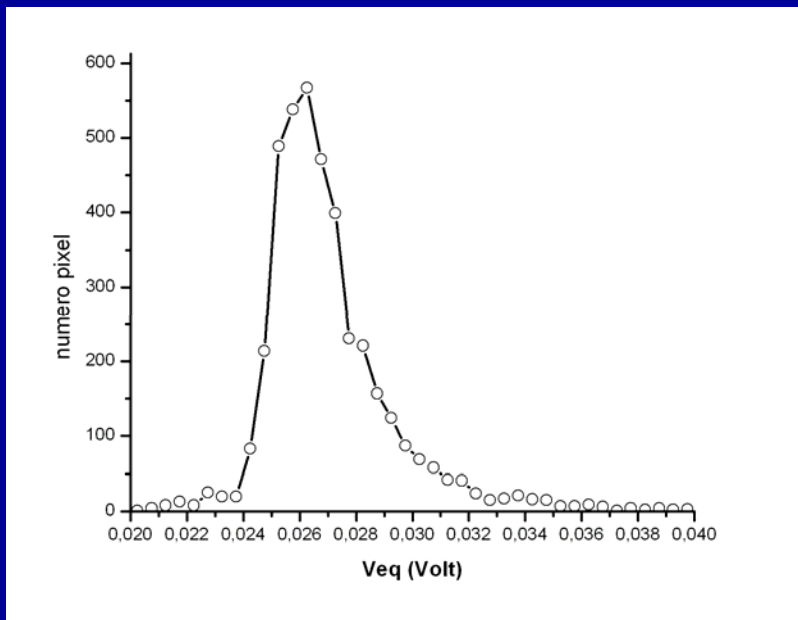
Sistema di raffreddamento

Sistema di rivelazione

Connettori di alimentazione  
e connessione al PC

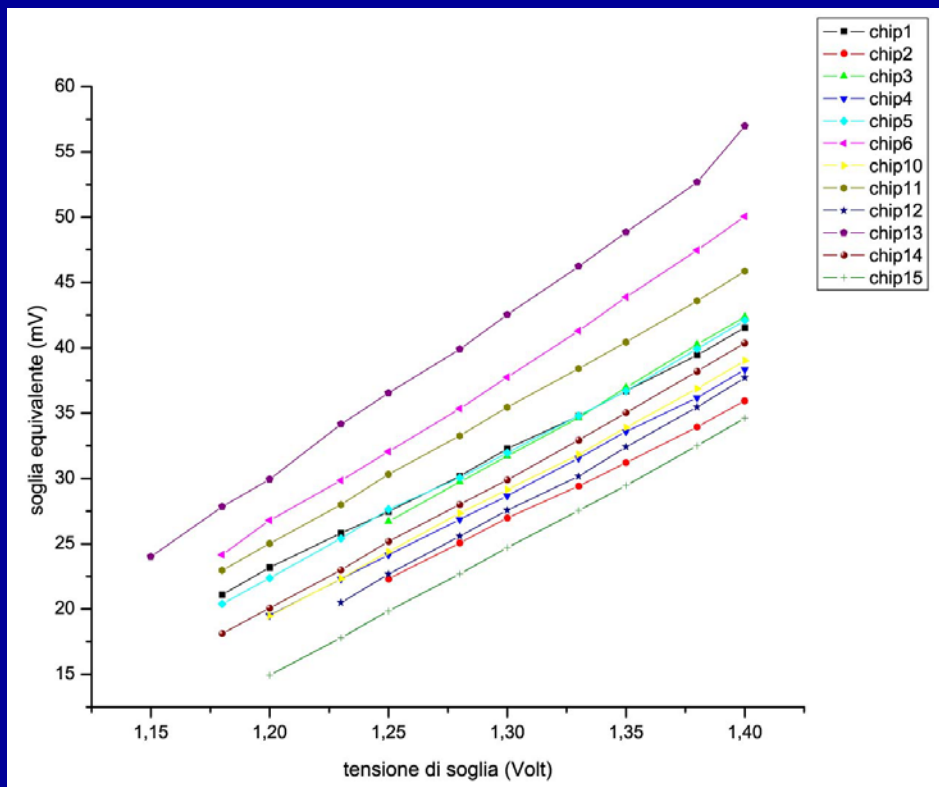
# Calibrazione delle unità di rivelazione

- Calibrazione elettrica ed assoluta delle soglie dei 12 chip contigui.
- Equalizzazione delle soglie dei 12 chip contigui.



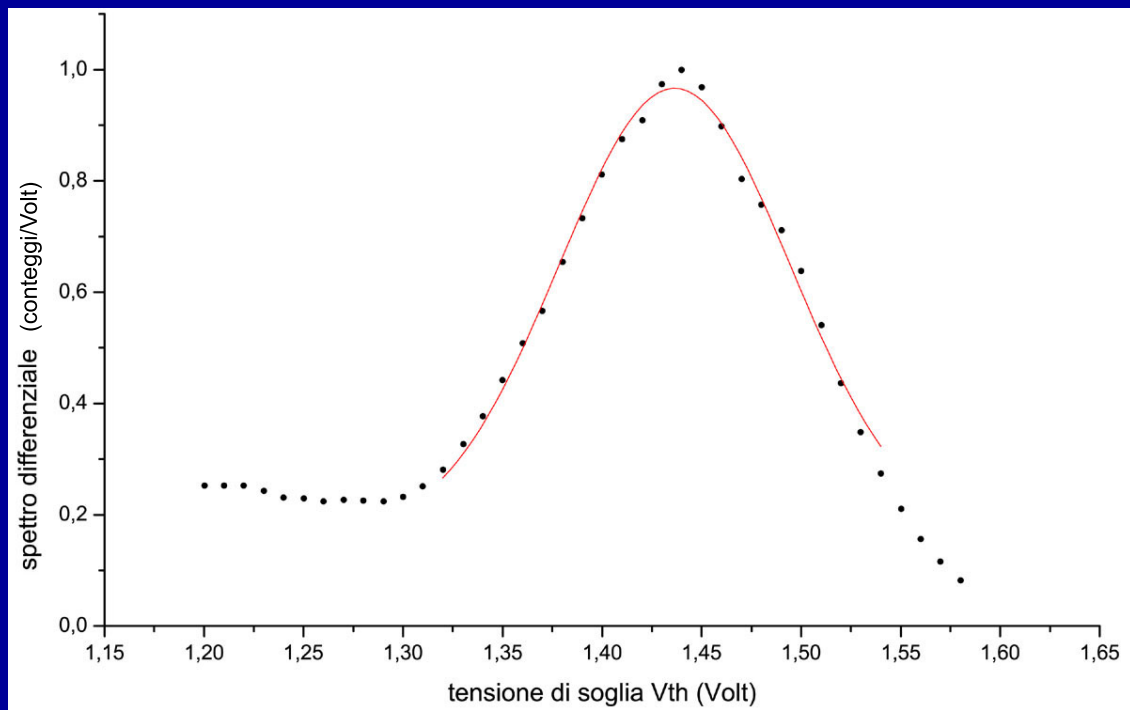
In figura mostriamo la distribuzione delle soglie equivalenti dei pixel del chip 1.

# Calibrazione delle soglia



- Tramite impulsi elettrici di tensione inviati al test input di un pixel del chip Medipix, è possibile determinare la soglia equivalente di ciascun pixel (ampiezza media in mV) in funzione della tensione di soglia  $V_{th}$ . E' quindi possibile stimare la media della soglia equivalente sui pixel di un chip in funzione di  $V_{th}$ .

# Calibrazione assoluta



- Tramite una scansione della tensione  $V_{th}$ , viene ricostruito lo spettro di emissione di una sorgente gamma di  $^{109}\text{Cd}$  ( $E = 22 \text{ keV}$ )
- In figura lo spettro sperimentale acquisito dall'unità di rivelazione No. 12

# Equalizzazione delle soglie

**Data la linearità tra la soglia equivalente e il V<sub>th</sub> e tra la soglia equivalente e la soglia energetica, è possibile determinare la forma di E(V<sub>th</sub>) ed esprimere le soglie di discriminazione in energia (keV)**

**Impostiamo le soglie energetiche di 11 chip al valore di 13 keV.**

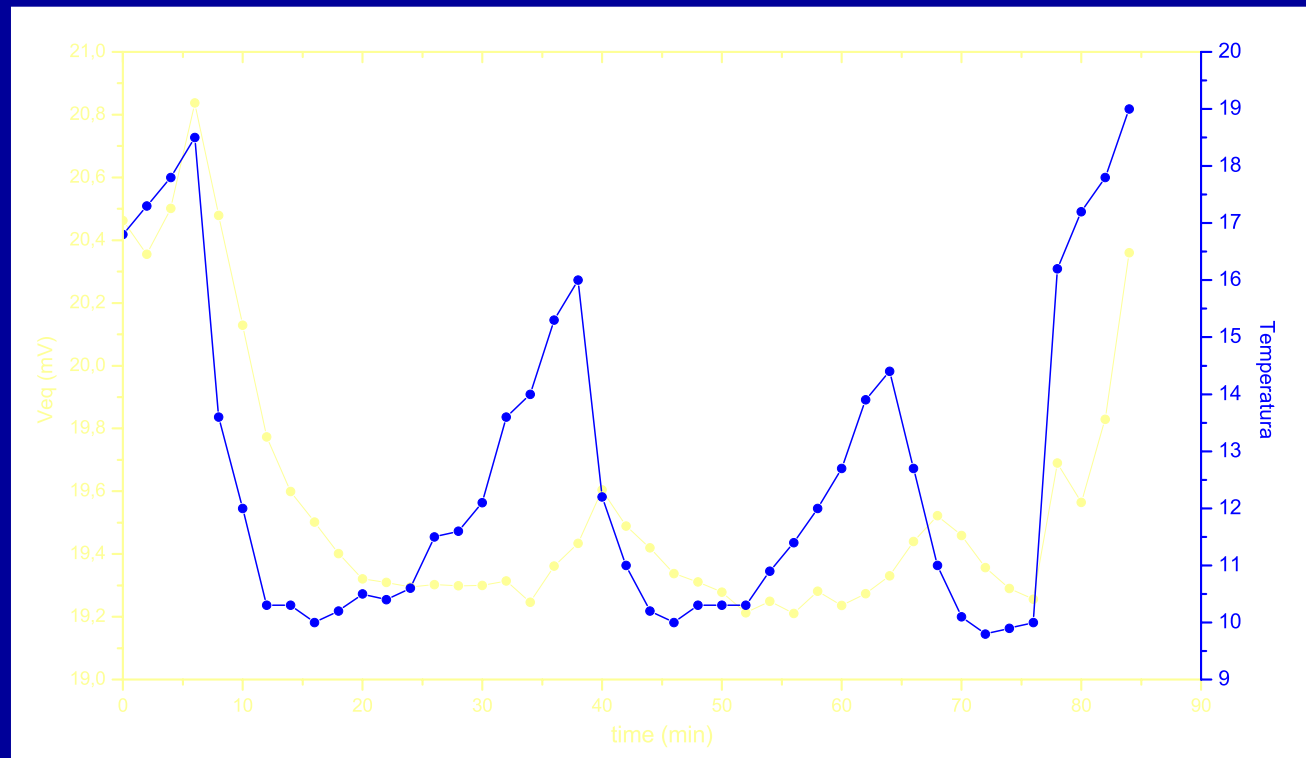
**La soglia energetica del chip 3 invece è impostata a 15 keV a causa dell'alto numero di pixel rumorosi.**

# Stabilità del sistema

**Per acquisire un'immagine a campo pieno  
il sistema effettua 26 scansioni  
consecutive, intervallate da 10 secondi  
così da permetter il raffreddamento del  
tubo RX.**

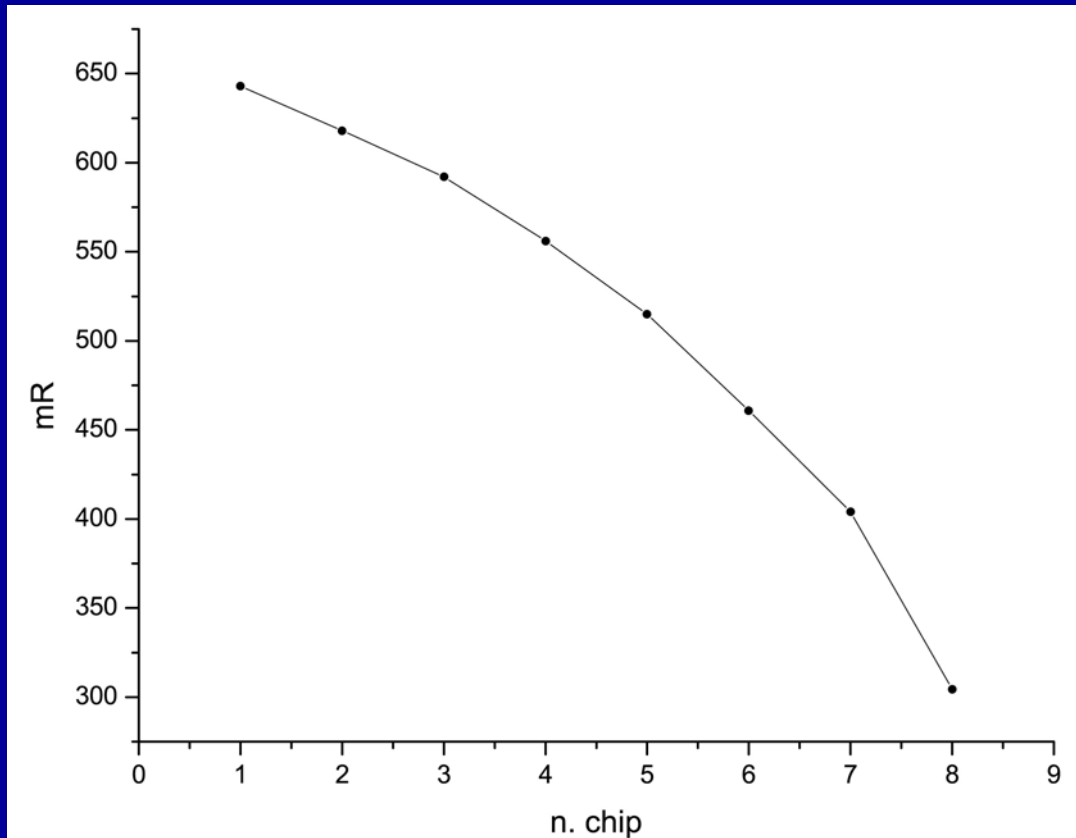
**Ci interessa verificare che in questo  
intervallo di tempo la risposta del sistema  
non vari.**

# Costanza delle soglie



**La soglia equivalente ha un andamento in accordo con quello della temperatura.**  
**Una variazione delle soglie dello 0.2 % comporta una variazione nei conteggi dello 0.5 %**

# Caratterizzazione del tubo RX



**Il fascio emesso dal tubo RX non è uniforme su tutto il piano di rivelazione. Misure effettuate con camera a ionizzazione mostrano l'andamento in figura. Inoltre la dose in aria misurata in diverse esposizioni consecutive non è costante. Questo comporta una differenza nei conteggi tra due acquisizioni consecutive.**

# Caratterizzazione del tubo RX

Misure della dose in aria effettuate con camera a ionizzazione mostrano che l'output del tubo non è costante.

Misure su 40 esposizioni consecutive danno:

**Media 818.0 mR std: 1.9mR**

Variazione massima tra 2 esposizioni consecutive : 4 mR

**Variazione della  
dose in aria  
dello 0.5 %**



**Analoga variazione  
nei conteggi di due  
acquisizioni**

# Stabilità del sistema

**In definitiva la variazione delle soglie e la non costanza dell'output del tubo determinano una variazione nei conteggi tra due scansioni consecutive fino all'1 %.**

# Equalizzazione delle immagini

Per minimizzare l'errore sistematico dovuto alla disuniformità nella risposta dei pixel, e del rivelatore, nonché alla disuniformità del fascio RX sul piano di rivelazione, si equalizza l'immagine con un fondo, ovvero un'immagine acquisita a campo piatto.

$$[I]_{i,j}$$

Conteggi registrati  
da ciascun pixel

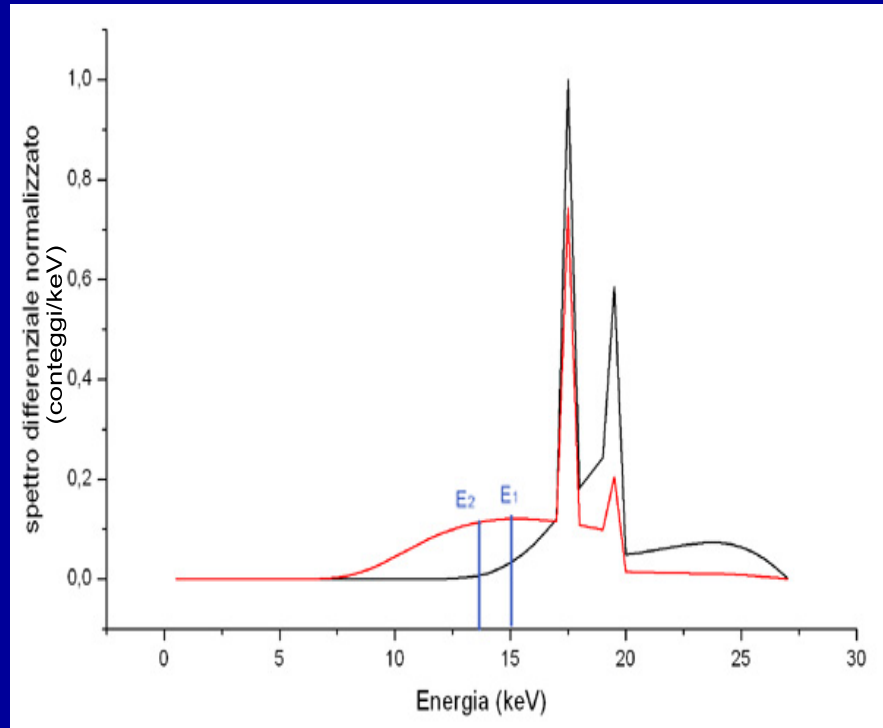
**IMMAGINE [I]**

**FONDO [F]**

**IMMAGINE EQUALIZZATA [C]**

$$[C]_{ij} = \frac{[I]_{ij}}{[F]_{ij}} < [F]_{ij} >$$

# Equalizzazione delle immagini

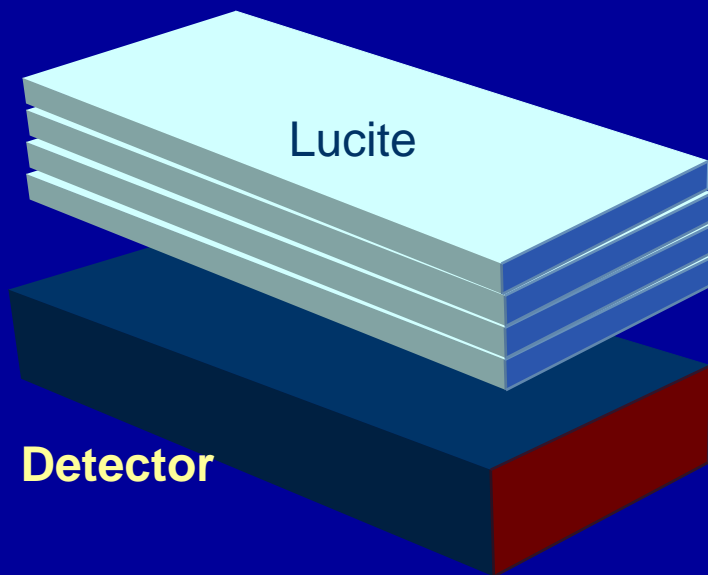


Il fondo di equalizzazione è strettamente dipendente dallo spettro usato per acquisirlo. Se gli spettri normalizzati incidenti sui rivelatori al momento dell'acquisizione del fondo e dell'immagine sono diversi, nel processo di equalizzazione si introduce un errore sistematico.

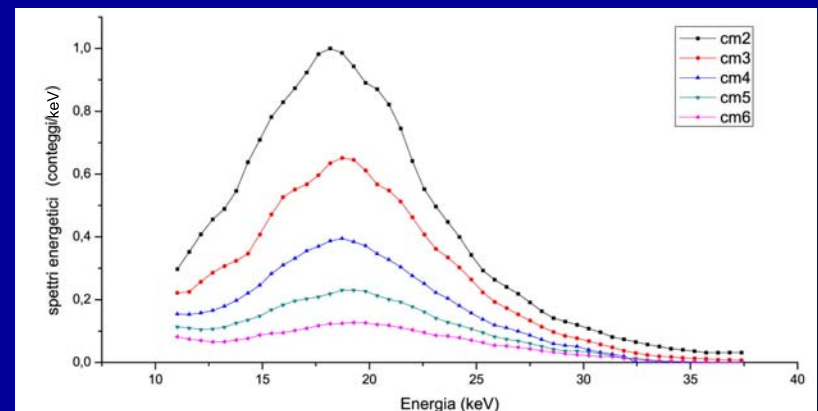
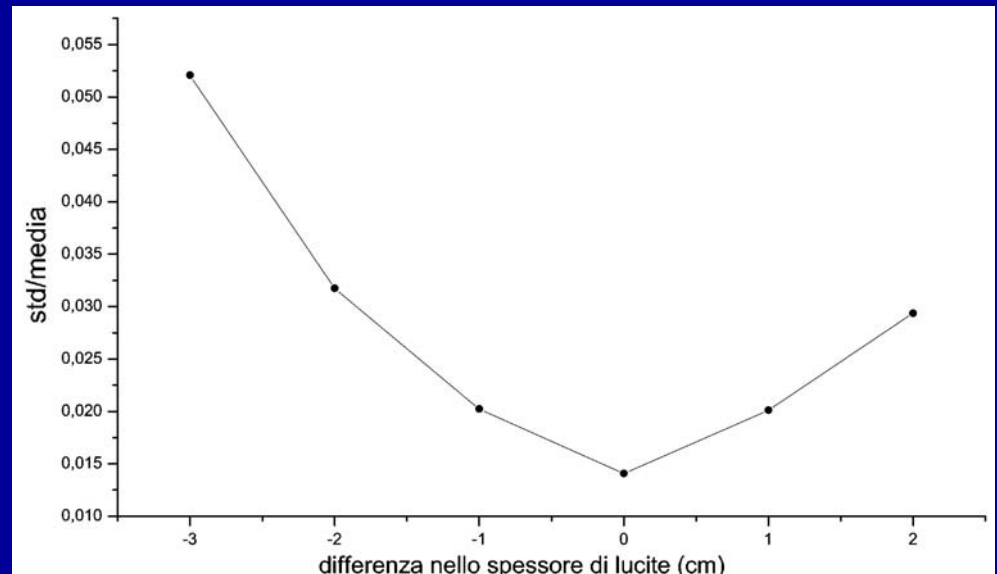
I due spettri energetici in figura rappresentano la radiazione incidente sui rivelatori all'acquisizione dell'immagine e del fondo

# Equalizzazione delle immagini

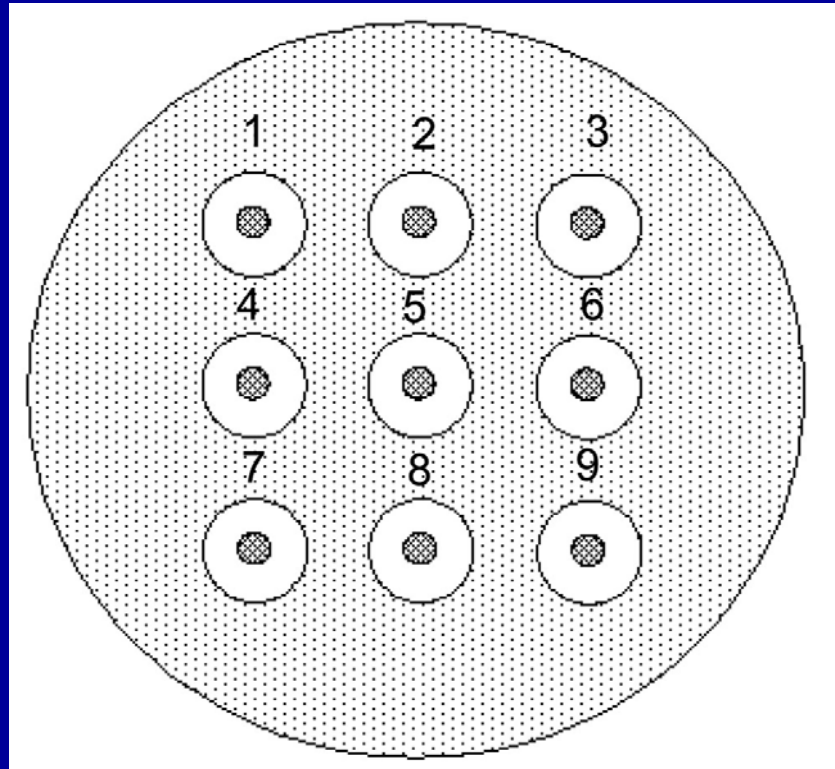
**Equalizziamo un'immagine  
acquisita ponendo 4 cm di  
lucite sul rivelatore con dei  
fondi acquisiti utilizzando  
diversi spessori di lucite**



**In figura gli Spettri sperimentali del  
fascio emesso dal tubo RX rivelati  
dall'unità 12 a diversi spessori di lucite**



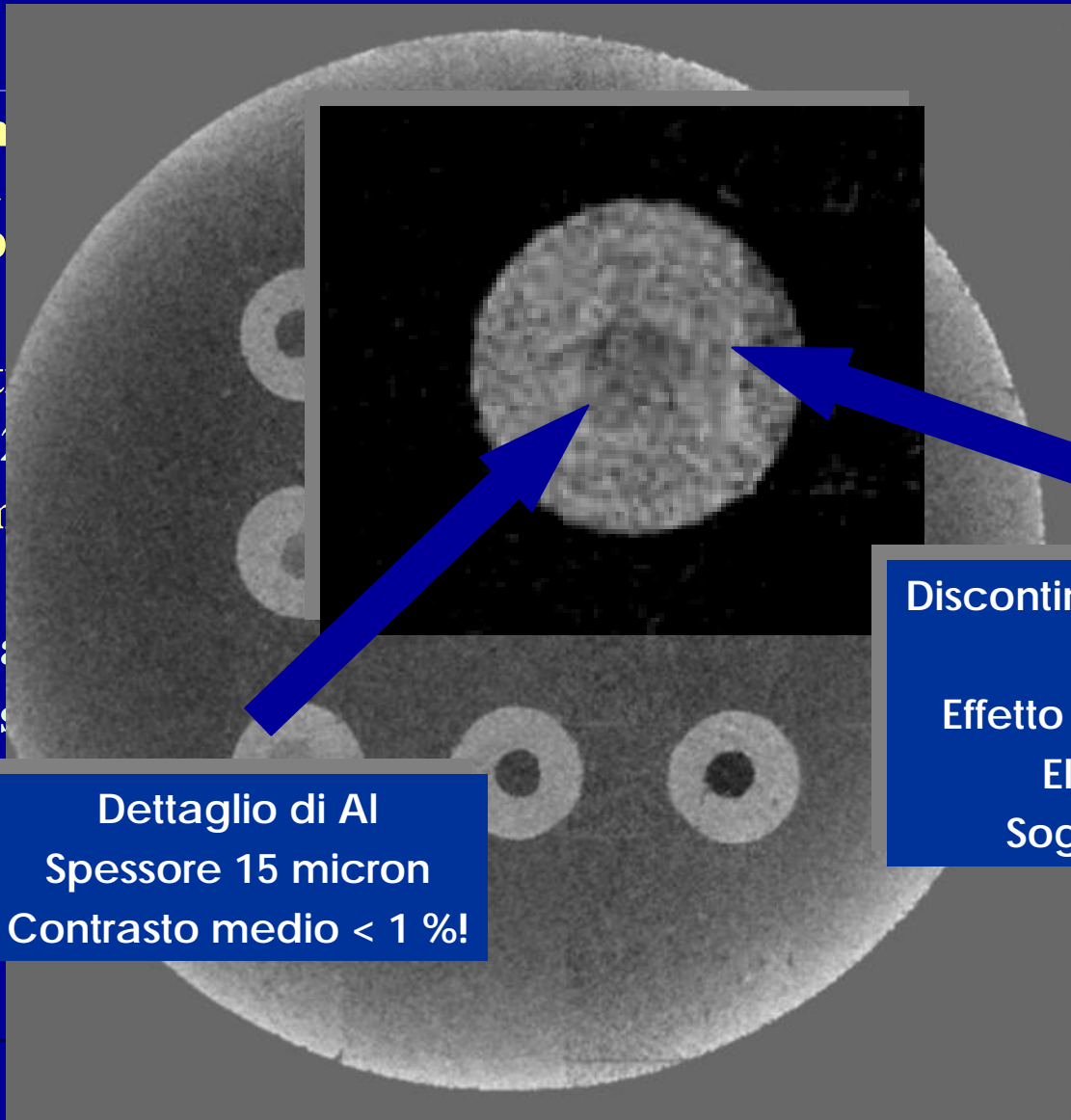
# Fantoccio mammografico



**Il fantoccio è costituito da un cilindro di raggio 5 cm e spessore 4 cm in lucite, nel quale sono stati inseriti 9 cilindri di cera, di circa 1 cm di diametro e contenenti dischetti di Al di circa 4 mm di diametro e di diversi spessori (da 125 micron a 15 micron).**

# Immagine del fantoccio

- Immagine di una struttura step
- Settore di lettura
- Temperatura
- 200°C
- 180°C
- 160°C
- 140°C
- 120°C
- 100°C
- 80°C
- 60°C
- 40°C
- 20°C
- 0°C
- Dettaglio di Al
- Dose



Dettaglio di Al  
Spessore 15 micron  
Contrasto medio < 1 %!

Discontinuità tra due chip adiacenti  
Effetto dovuto al valore Elevato della Soglia del chip 3

# Conclusioni

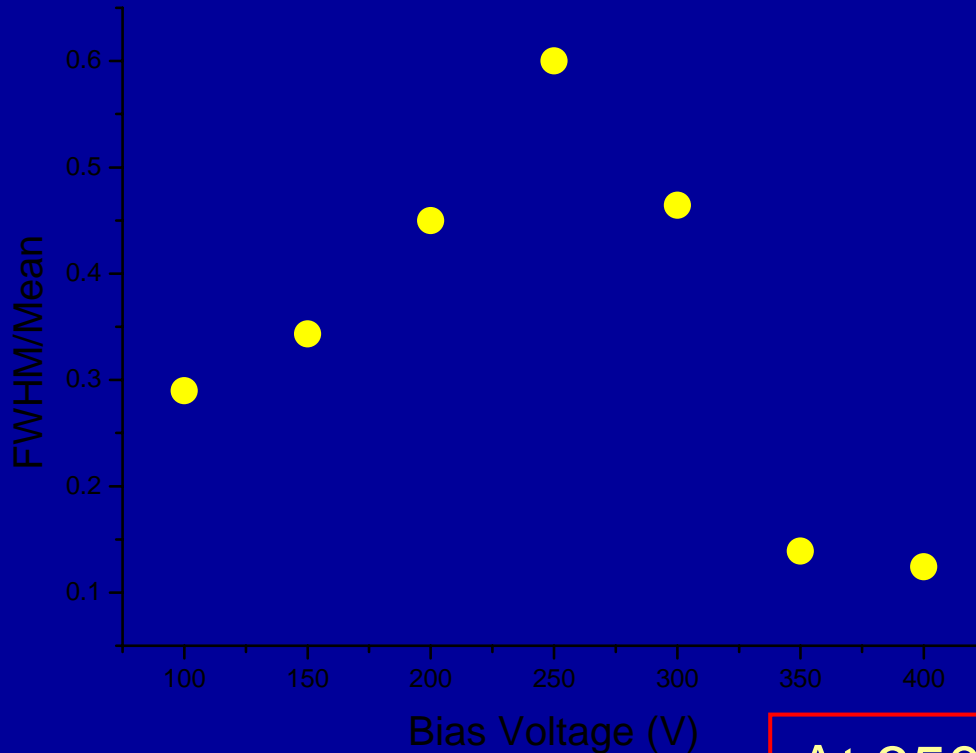
- Il sistema è stato ottimizzato per acquisire immagini mammografiche di fantocci in condizioni di esposizione tipiche di una mammografia clinica.
- Il sistema è in grado di produrre immagini mammografiche di ‘buona qualita’.
- Le sue prestazioni sono particolarmente elevate nella rivelazione di dettagli a basso contrasto

# Conclusioni

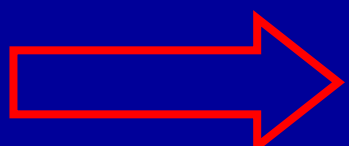
- Il ~~chip~~ è rumoroso e va sostituito
- ~~Tuttavia~~ Il sistema necessita di un isolamento dall'esterno e di un adeguato impianto di raffreddamento così da limitare la variazione delle soglie.
- La non costanza dell'output del tubo può essere corretta monitorando le diverse scansioni con camera a ionizzazione e usando le misure per normalizzare l'immagine

# Working point optimization

Irradiation with X- ray tube (W anode at 40kV)



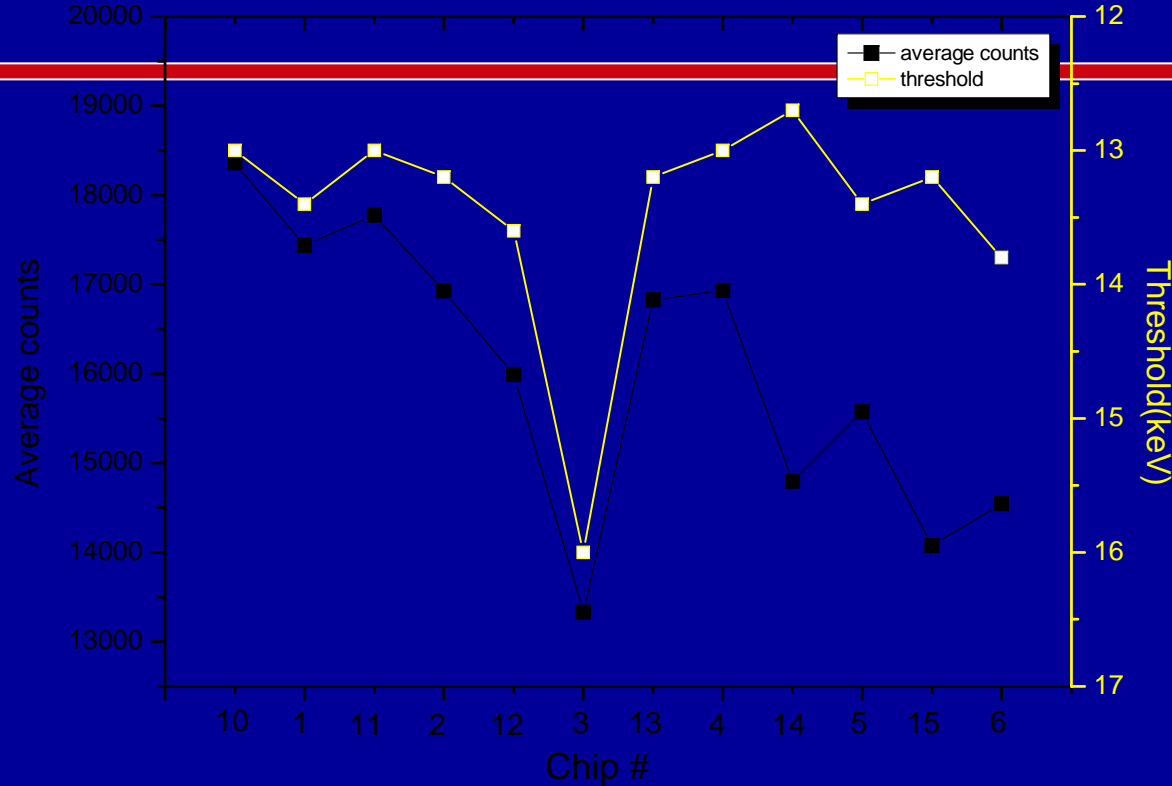
The ratio FWHM/mean provides a measure of the inhomogeneity degree among the pixels as function of the reverse voltage.



At 350 V:

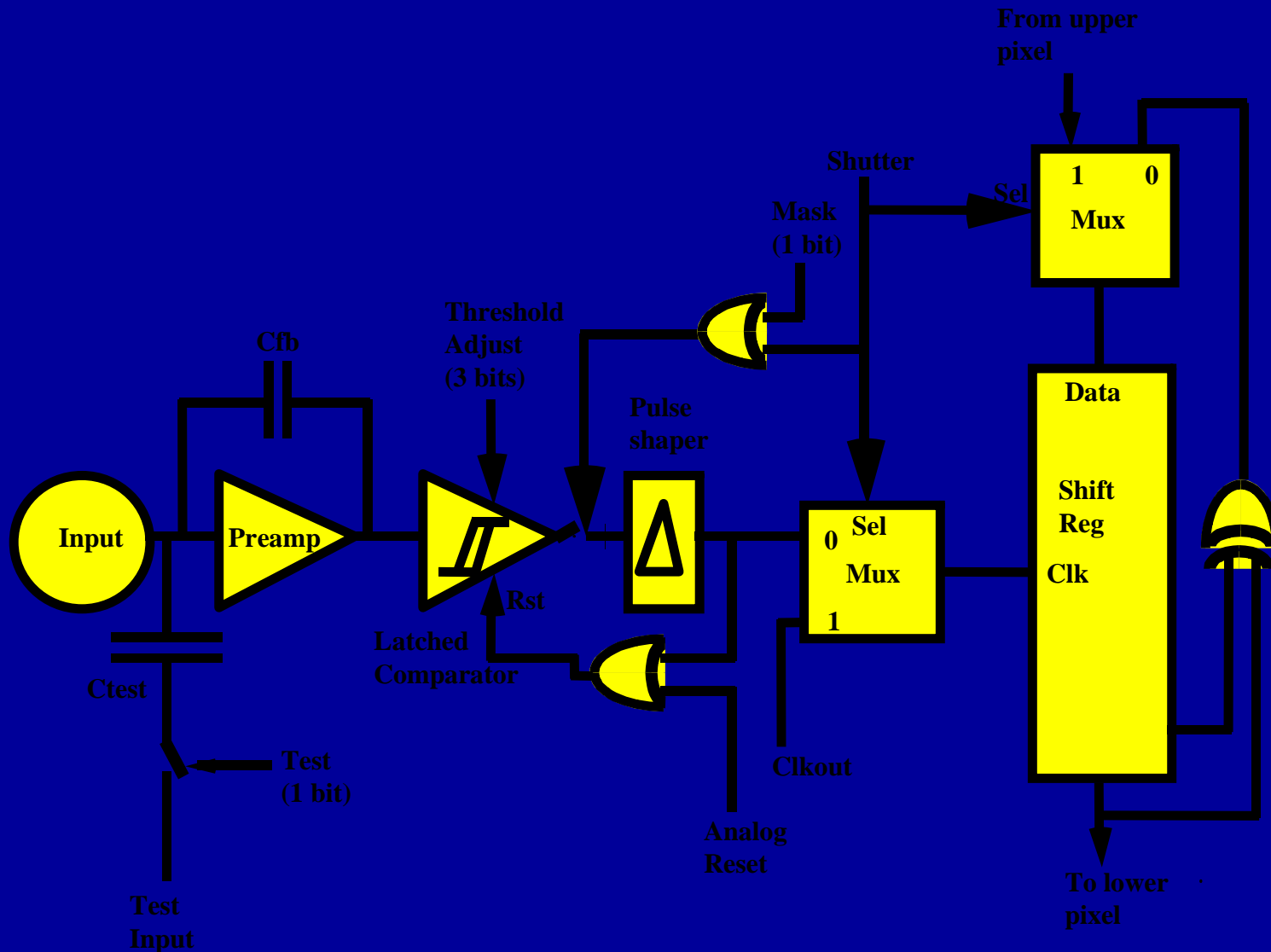
- The detector thickness is fully active
- The image is uniform
- The current density is 2.4

# Thresholds-counts correlation

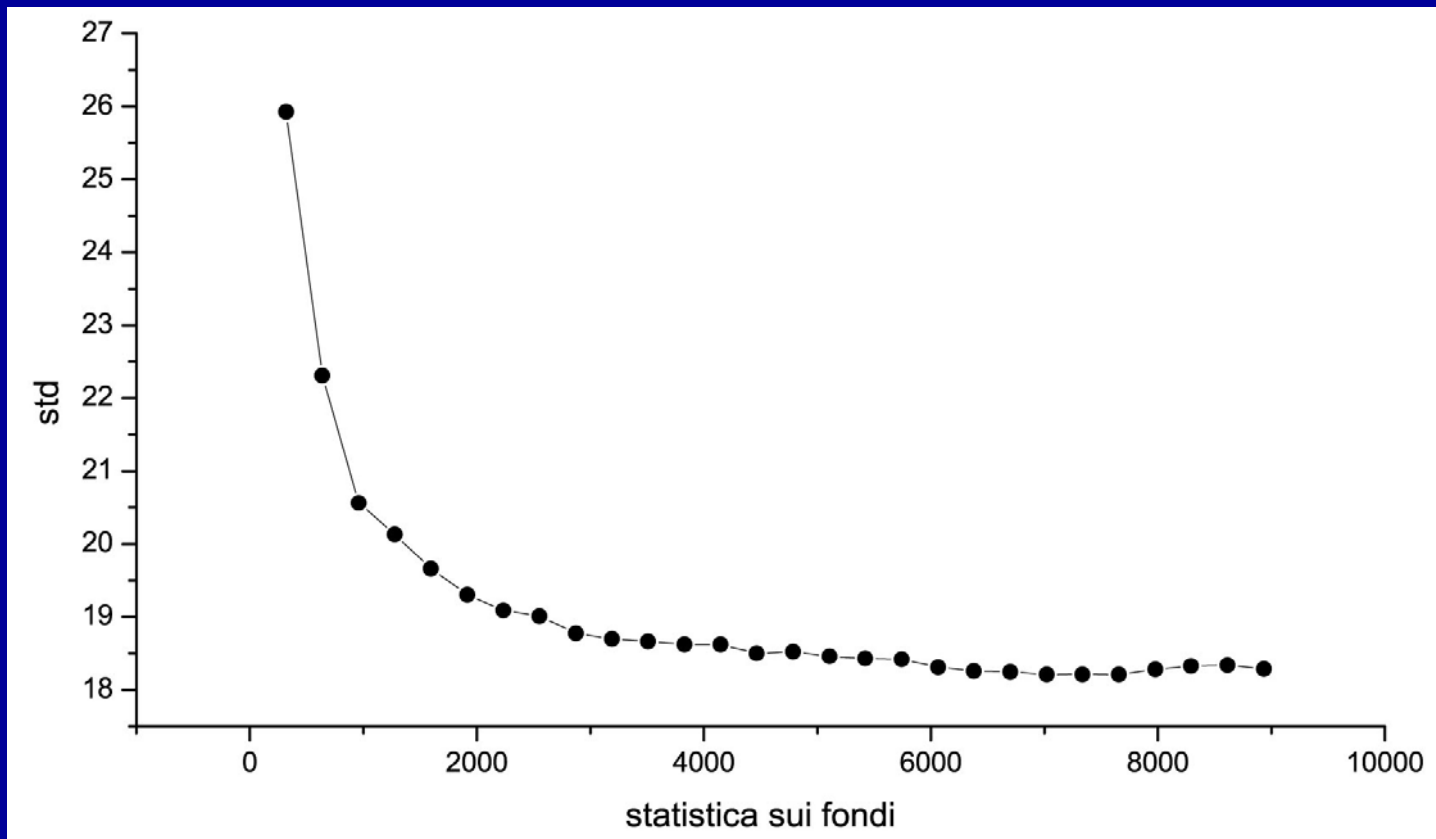


- Detectors exposed to the mammographic X-ray beam. The tube settings (27 kV, 30 mAs) same as in a clinical examination. 4 cm thick 18 x 24 cm<sup>2</sup> lucite slab onto the detectors to simulate breast tissue.
- the agreement between the two data sets is satisfactory, unless for the last four chips, where the counts are less than expected.
- This can be explained taking into account the “heel effect”. The intensity of the beam decreases across the exposure plane (from the detector 1 to the detector 6) due to the absorption in the anode heel.

# Medipix1



# Acquisizione dei fondi



**Std dell'immagine corretta di una sorgente di  $^{109}\text{Cd}$  (media 320 count), in base alla statistica accumulata sui fondi. La std raggiunge il minimo a partire da 7000 count.**